

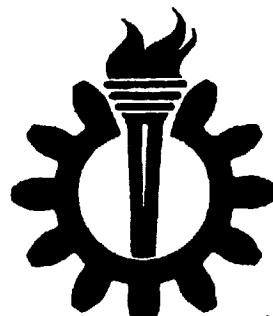
الله
بسم الله الرحمن الرحيم

تقدیم به آستان پرمهیر

صفدیل (عج)

۱۳۷۸ / ۷ / ۱۲

بسمه تعالیٰ



دانشگاه علم و صنعت ایران
دانشکده مهندسی مواد و متالورژی

بهینه سازی سیکل عملیات حرارتی فولادهای ماریجینگ

کاظم سلیمانی استیار

پایان نامه برای دریافت درجه کارشناسی ارشد
مهندسی مواد

استیلر اهنما:

دکتر محمد رضا ابوطالبی

دکتر جلیل وحدتی خاکی

۳۸۷۱

اسفند ۱۳۷۷

۲۷۴۲۷

تقدیر و تشکر

بدینوسیله لازم میدانم از اساتید راهنمای پروژه آقایان دکتر ابوطالبی و دکتر وحدتی بخاطر سربرستی پروژه، و نیز پرسنل محترم بخش مواد مجتمع تحقیقاتی صنعتی یامهدی(ع)-بویژه واحد عملیات حرارتی - بخاطر همکاریهایی که در جهت پیشبرد پروژه داشته‌اند تشکر نمایم.

همچنین مایلم بطور مشخص مراتب سپاس خود را از توجهات صمیمی آقای مهندس زواری و مساعی بیدریغ آقایان مهندس قادری و مهندس نجاتی درجهت اهداف پروژه ابراز نمایم .
برای همه آنها آرزوی سلامت و بهروزی دارم .

چکیده

فولادهای ماریجینگ از خانواده فولادهای با استحکام زیاد می‌باشند. مهمترین ویژگی این فولادها این است که علاوه بر داشتن استحکام کششی بسیار بالا و سختی زیاد، فوق العاده داکتیل و انعطاف پذیر هستند. از اینرو در کاربردهای حساس مهندسی و نظمامی، آنجاکه در کنار استحکام زیاد، انعطاف پذیری خوبی نیز مورد نیاز است بکار میروند. از پیدایش این فولادها بیش از چهل سال نمی‌گذرد و تکنولوژی تولید آن نیز در اختیار چند کشور صنعتی قرار دارد. در پژوهش حاضر ضمن معرفی فولادهای ماریجینگ، بهینه سازی سیکل عملیات حرارتی و پوشش دهی این فولادها مورد تحقیق قرار گرفته است.

عملیات حرارتی فولادهای ماریجینگ شامل عملیات حرارتی آنیل محلولی و پیرسازی می‌باشد که در این میان، فرایند پیرسازی فولادها بیشترین تأثیر رابر روی خواص مکانیکی نهایی قطعه دارد. از اینرو با انجام آزمایشاتی نقش پارامترهای آنیل محلولی و بویژه پیرسازی (دما و زمان) روی استحکام کششی، سختی و مقاومت به ضربه شارپی مورد بررسی قرار گرفت. بررسیهای انجام شده نشان داد که مناسبترین دمابرای دستیابی سریع به حد اکثر این خواص در محدوده دمایی $520 - 480^{\circ}\text{C}$ قرار دارد. مقدار دقیق این دمابرای هر فولاد ماریجینگ باستی بصورت مستقل مورد تحقیق قرار گیرد. با توجه به نتایج بدست آمده از آزمایشها انجام شده، بهینه شرایط عملیات حرارتی پیرسازی برای فولاد ماریجینگ $\text{C}300$ ، زمان 3hr و دمای 480°C و برای فولاد ماریجینگ $T250$ زمان 2hr و دمای 500°C تشخیص داده شد. همچنین با استفاده از نمکهای اکسید کننده مذاب، امکان ایجاد پوشش اکسیدی مقاوم در برابر خوردگی مورد بررسی قرار گرفت. آزمایشات انجام شده نشان داد که میتوان از این روش بطور موافقی آمیزی استفاده نمود.

فهرست مطالب

صفحه

۱

مقدمه

بخش اول - معرفی منابع

فصل (۱) معرفی فولادهای ماریجینگ

۶

۱-۱- معرفی فولادهای ماریجینگ

۷

۱-۲- عناصر سازنده فولاد

۱۵

۱-۳- ذوب و تهیه

۱۷

۱-۴- کاربردها

فصل (۲) متالورژی فیزیکی فولادهای ماریجینگ

۱۹

۲-۱- خواص فیزیکی و مکانیکی

۱۹

۲-۲- ساختار فازی فولاد

۲۰

۲-۲-۱- استنیت

۲۲

۲-۲-۲- مارتزیت

۲۸

۲-۲-۳- دگرگونی دو طرفه آستانیت- مارتزیت و عملیات ریزدانه کردن

۳۳

۲-۳-۲- عملیات حرارتی

۳۳

۲-۳-۱- آنیل محلولی

۴۰

۲-۳-۲- پیرسازی مارتزیت

۵۱

۲-۴-۲- تردی فولاد ماریجینگ

۵۱

۲-۴-۱- تردی حرارتی

۵۵

۲-۴-۲- تردی هیدروژنی

۶۲

۲-۵- عملیات سطحی فولاد

۶۳	۱-۵-۲ - پوشش‌های نیتریدی
۶۵	۲-۵-۲ - پوشش‌های الکتروولیتی
۶۵	۳-۵-۲ - پوشش‌های اکسیدی
	فصل (۳) فرآیندهای پیرسازی فولادهای ماریجینگ
۷۹	۱-۳ - هدف از پیرسازی
۷۹	۲-۳ - مکانیزم پیرسازی
۸۰	۱-۲-۳ - واکنشهای منظم شدن
۷۲	۲-۲-۳ - واکنشهای رسوب‌دهی
۷۶	۳-۲-۳ - مکانیزم‌های استحکام‌دهی
۷۹	۳-۳ - فازشناسی aging
۷۹	۱-۳-۳ - رسوبات Ti (فاز II)
۸۲	۲-۳-۳ - رسوبات Mo
۸۵	۴-۳ - overage

بخش دوم - آزمایشها و نتایج

	فصل (۴) عملیات حرارتی
۹۴	۱-۱ - پیرسازی در درجه حرارت‌های مختلف
۹۴	۱-۱-۱ - پیرسختی در دمای 480°C
۹۵	۱-۱-۲ - پیرسختی در دمای 500°C
۹۶	۱-۱-۳ - پیرسختی در دمای 520°C
۹۷	۱-۱-۴ - مقایسه منحنیهای سخت شوندگی فولاد C300
۹۹	۱-۱-۵ - مقایسه منحنیهای سخت شوندگی فولاد T250
۱۰۱	۱-۱-۶ - سیستیک و مکانیزم رسوب‌دهی

۱۰۸	۴-۱-۷- پیرسختی از دیدگاه میکروسکوپی
۱۰۸	۴-۱-۷-۱- مراحل پیرسختی در فولاد T250
۱۱۴	۴-۱-۷-۲- مراحل پیرسختی در فولاد C300
۱۱۸	۴-۱-۸- تأثیر دمای پرسازی روی خواص مکانیکی
۱۲۱	۴-۲- ترکیب عملیات آبلی محلولی و پرسازی
۱۲۱	۴-۳- پرسازی دوگانه
۱۲۲	۴-۴- بررسی فازهای رسوبی

فصل (۵) عملیات سطحی

۱۲۷	۵-۱- شناسایی پوشش قطعه فابریک
۱۲۸	۵-۲- شناسایی پوشش حاصل از نمک age
۱۲۹	۵-۳- روش‌های ایجاد پوشش و فرایند پیشنهادی
۱۳۰	۵-۴- ایجاد پوشش اکسیدی با استفاده از نمک اکسیدان
۱۳۱	۵-۴-۱- خواص خوردگی پوشش حاصل
۱۳۵	۵-۴-۲- ضخامت پوشش
۱۳۶	۵-۴-۳- جنس پوشش

فصل (۶) جمع‌بندی و نتیجه‌گیری

۱۴۱ مراجع

فهرست تصاویر

	فصل (۱)
۷	شکل (۱-۱) نمودار فازی سیستم آهن - نیکل
۱۰	شکل (۱-۲) تأثیر تینانیم روی استحکام تسلیم
۱۱	شکل (۱-۳) تأثیر تینانیم روی برگشت استنیت
۱۲	شکل (۱-۴) تأثیر مولیبدن روی استحکام کششی
۱۳	شکل (۱-۵) تأثیر گوگرد روی انرژی ضربه
	فصل (۲)
۲۴	شکل (۲-۱) منحنی CCT فولادهای ماریجینگ
۲۵	شکل (۲-۲) تصویر میکروسکوپی TEM نمونه آنیل و کوئچ شده
۲۷	شکل (۲-۳) ساختار میکروسکوپی بلوک - پاکت مارتزیت
۲۹	شکل (۲-۴) منحنی استحاله استنیت به مارتزیت
۳۲	شکل (۲-۵) الگوی سیکل ریزدانه کردن فولاد
۳۵	شکل (۲-۶) تأثیر دمای آنیل روی اندازه دانه ها
۳۶	شکل (۲-۷) رفتار رشد ایزوترمال رشد دانه با زمان
۳۸	شکل (۲-۸) اثر دمای آنیل محلولی روی خواص کششی در حالت پیرنشده
۳۸	شکل (۲-۹) اثر دمای آنیل محلولی روی خواص کششی در حالت پیر شده
۳۹	شکل (۲-۱۰) اثر دمای آنیل محلولی روی تافس شکست K_{IC} و انرژی ضربه CVN
۴۰	شکل (۲-۱۱) اثر دمای آنیل محلولی روی سختی پس از پرسازی
۴۲	شکل (۲-۱۲) منحنی زمان پیرشدن - سختی برای فولادهای T و C
۴۳	شکل (۲-۱۳) منحنی زمان پیرشدن - مقاومت الکتریکی برای فولادهای T و C
۴۵	شکل (۲-۱۴) رفتار سخت شوندگی آلیاژ 18Ni250 در دماهای مختلف
۴۵	شکل (۲-۱۵) تأثیر دمازمان پرسازی روی مقاومت الکتریکی
۴۷	شکل (۲-۱۶) اثر دمای پرسازی روی استحکام تسلیم و کششی فولاد T
۴۷	شکل (۲-۱۷) اثر دمای پرسازی روی خواص کششی فولاد C
۴۹	شکل (۲-۱۸) افزایش دمای پرسازی و پدیده TRIP
۴۹	شکل (۲-۱۹) اثر دمای پرسازی روی انرژی ضربه
۵۰	شکل (۲-۲۰) منحنی مقدار K_{IC} بر حسب استحکام تسلیم فولاد T
۵۱	شکل (۲-۲۱) اثر دمای پرسازی روی مقدار K_{IC} فولاد C
۵۳	شکل (۲-۲۲) واکنشهایی که در سرد شدن از دمای بالا اتفاق می افتد
۵۶	شکل (۲-۲۳) اثر فشار هیدروژن روی سرعت رشد ترک
۵۷	شکل (۲-۲۴) سطح شکست فولاد ماریجینگ ...
۵۸	شکل (۲-۲۵) منحنی تست بار ثابت برای شکست ...

۶۰	شکل (۲۶-۲) منحنی مقدار هیدروژن آزاد شده بر حسب کرنش نمونه آنیل شده
۶۰	شکل (۲۷-۲) منحنی مقدار هیدروژن آزاد شده بر حسب کرنش نمونه آنیل نشده
۶۱	شکل (۲۸-۲) منحنی مقدار هیدروژن آزاد شده بر حسب تنش نمونه ماریج شده
۶۱	شکل (۲۹-۲) منحنی آهنگ آزاد شدن هیدروژن بر حسب تنس نمونه ماریج شده
۶۲	شکل (۳۰-۲) سطح شکست فولاد ماریجینگ ...

فصل (۳)

۷۰	شکل (۳-۱) نمودار فازی $Fe-Co$
۷۱	شکل (۳-۲) نمودار فازی $Fe-Ni$
۷۵	شکل (۳-۳) نمودار افزایش سریع سختی فولاد در ماهات مختلف
۷۵	شکل (۴-۳) منحنی $\log t / T$ بر حسب t
۸۰	شکل (۵-۳) نمودار فازی $Ni-Ti$
۸۳	شکل (۶-۳) نمودار فازی $Fe-Mo$
۸۶	شکل (۷-۳) اعوجاج شبکه اتمی مارتزیت بواسطه رسوب Ni_3Mo

فصل (۴)

۹۵	شکل (۴-۱) منحنی های سخت شوندگی در دمای $480^{\circ}C$
۹۶	شکل (۴-۲) منحنی های سخت شوندگی در دمای $500^{\circ}C$
۹۷	شکل (۴-۳) منحنی های سخت شوندگی در دمای $520^{\circ}C$
۹۸	شکل (۴-۴) منحنی های سختی فولاد C300 در ماهات مختلف
۱۰۰	شکل (۴-۵) منحنی های سختی فولاد T250 در ماهات مختلف
۱۰۲	شکل (۶-۴) منحنی $\ln \ln[1/(1-a)]$ بر حسب t در دمای $480^{\circ}C$
۱۰۲	شکل (۷-۴) منحنی $\ln \ln[1/(1-a)]$ بر حسب t در دمای $500^{\circ}C$
۱۰۳	شکل (۸-۴) منحنی $\ln \ln[1/(1-a)]$ بر حسب t در دمای $520^{\circ}C$
۱۰۴	شکل (۹-۴) منحنی $\ln \ln[1/(1-a)]$ بر حسب t برای فولاد C300 در ماهات مختلف
۱۰۵	شکل (۱۰-۴) منحنی $\ln \ln[1/(1-a)]$ بر حسب t برای فولاد T250 در ماهات مختلف
۱۰۷	شکل (۱۱-۴) منحنی $\log t / T$ بر حسب t برای فولادهای ۵۰۰ و ۳۰۰
۱۰۸	شکل (۱۲-۴) تصویر میکروسکوپی فولاد T250 پیر شده در $480^{\circ}C$ و $3min$
۱۰۹	شکل (۱۳-۴) تصویر میکروسکوپی فولاد T250 پیر شده در $500^{\circ}C$ و $60min$
۱۱۰	شکل (۱۴-۴) آنالیز EDAX رسوب ...
۱۱۱	شکل (۱۵-۴) تصویر میکروسکوپی فولاد T250 پیر شده در $480^{\circ}C$ و $4hr$
۱۱۲	شکل (۱۶-۴) آنالیز EDAX رسوب ...
۱۱۳	شکل (۱۷-۴) تصویر میکروسکوپی فولاد T250 پیر شده در $480^{\circ}C$ و $7hr$
۱۱۴	شکل (۱۸-۴) تصویر میکروسکوپی فولاد C300 پیر شده در $480^{\circ}C$ و $3min$

۱۱۵	شکل (۱۹-۴) تصویر میکروسکوپی فولاد C300 پیر شده در ۷۰°C و ۴۸۰ min ...
۱۱۶	شکل (۲۰-۴) آنالیز EDAX رسوب ...
۱۱۶	شکل (۲۱-۴) آنالیز EDAX زمینه ...
۱۱۷	شکل (۲۲-۴) تصویر میکروسکوپی فولاد C300 پیر شده در ۹ hr و ۴۸۰°C ...
۱۲۰	شکل (۲۳-۴) منحنی کرنش - تنش فولاد C300
۱۲۰	شکل (۲۴-۴) منحنی کرنش - تنش فولاد T250
۱۲۳	شکل (۲۵-۴) طیف XRD فولاد T250 پیر شده
۱۲۳	شکل (۲۶-۴) طیف XRD فولاد T250 پیر شده
۱۲۴	شکل (۲۷-۴) طیف XRD فولاد C300 پیر شده
۱۲۴	شکل (۲۸-۴) طیف XRD فولاد C300 پیر شده

فصل (۵)

۱۲۸	شکل (۱-۵) طیف XRD پوشش نمونه فابریک
۱۲۹	شکل (۲-۵) طیف XRD پوشش نمک age
۱۳۲	شکل (۳-۵) منحنی مقدار افت وزن در محلول خورنده
۱۳۲	شکل (۴-۵) منحنی مقدار عنصر آلیاژی موجود در محلول خورنده برای نمونه های پیر شده
۱۳۳	شکل (۵-۵) منحنی مقدار عنصر آلیاژی موجود در محلول خورنده برای نمونه های پیر شده
۱۳۴	شکل (۶-۵) نتایج آزمایش Salt Spray
۱۳۶	شکل (۷-۵) طیف XRD پوشش نمک اکسیدان

مقدمه

فولادهای ماریجینگ از خانواده فولادهای با استحکام بسیار بالا هستند که استحکام آنها چندین برابر استحکام فولادهای کربنی سخت شده می‌باشد. ویژگی برجسته این فولادها، علاوه بر استحکام بالا، داشتن تافس شکست بسیار عالی است. بطوریکه مجموع این دو ویژگی را در فولادهای دیگر به ندرت می‌توان یافت. لذا قطعات بسیار محکم و در عین حال انعطاف‌پذیر و مقاوم در برابر شکست را برآحتی می‌توان با این فولاد تولید کرد. علاوه بر دو عامل فوق، خواص خستگی عالی، سهولت فراوری ترمومکانیکی، عملیات حرارتی، ماشینکاری و جوشکاری آنها، ارزش و بهایی بسیار بالا به این فولادها بخشیده است. بطوریکه کاربرد آنها به زمینه‌هایی که توجیه اقتصادی قوی وجود داشته باشد محدود شده است. این محدوده خود طیف وسیعی از صنایع نظامی، هوافضا، آب‌فضا(Hydrospace)، اتمیل سازی و بازارسازی را در بر می‌گیرد. قیمت بالای این فولادهای عملیاتی با کاهش مراحل تولید و ماشینکاری و عدم نیاز به تجهیزات عظیم و گرانبها برای فراوری و عملیات حرارتی قطعات جبران می‌شود. در کنار تمامی این مزایا، فولادهای ماریجینگ (به جز گروه Cr دار) از نظر ویژگیهای سطحی ضعیف بوده و برای مصارف حساس انجام عملیات سطحی بر روی این فولادها ضروری است.

واژه "maraging" واژه‌ای ترکیبی است که از دو عبارت aging و martensite تشکیل شده است. این نام را اولین بار آقای R. F. Decker به این فولادها اطلاق نمود، زیرا این فولادها دارای یک زمینه مارتزیتی نرم هستند که با عملیات پرسازی به استحکام و سختی مطلوب می‌رسند. [۱].

هدف و اهمیت پژوهه

پژوهه حاضر بخشی از یک پژوهه مهندسی معکوس است که روی موشکهای ضد تانک انجام می‌گیرد. موتور پرتاپ این موشکها قطعه‌ایست سیلندر مانند که از جنس آلیاژ ماریجینگ بوده و با مجموعه‌ای از عملیات ترمومکانیکی، ماشینکاری، عملیات حرارتی و عملیات سطحی تولید می‌شود. نقش پژوهه حاضر در این مجموعه، بررسی و تعیین سیکل عملیات حرارتی و عملیات سطحی مناسب برای پاسخگوئی به نیازهای طراحی مهندسی این قطعه بوده است.

سابقه علمی پژوهشی در موضوع پژوهه

با پیدایش فولادهای ماریجینگ و انتشار نتایج تحقیقات اولیه در مورد ویژگیهای آن، دانشمندان

بررسیهای وسیعی رابرای کشف خواص آن آغاز نمودند. ابتداتلاش آنان به بررسی رفتار عملیات حرارتی و خواص مکانیکی فولادهای ماریجینگ اولیه معطوف شد. اما بدنیال استفاده از آنها در محور محرکه و سایل نقلیه، سیستمهای هوافضاموتور موشکهای سال ۱۹۶۱، و آشکارشدن سهولت عملیات حرارتی و فراوری آنها، زمینه‌های جدیدی از کاربرد آنها مورد توجه قرار گرفت. از این‌رو محققین موادگامهای جدی در تهیه انواع جدیدی از فولادهای ماریجینگ برداشتند که نتایج کار آنها عمدها بصورت Patent ارائه شده‌اند.

در حالیکه تحقیقات انجام شده در بیست سال اول، به بررسی ویژگیهای عملیات حرارتی، خواص مکانیکی، جوشکاری و خوردگی فولادهای ماریجینگ پرداخته‌اند، تنها در دهه آخر قرن است که ابزارهای دقیق، دانشمندان را در بررسی دقیق ریز‌ساختارهای حاصل از انواع مختلف این فولاد و انواع عملیات حرارتی مورداستفاده یاری دادند. این بررسیهای عمده‌ای فرایندهای رسوب‌دهی را در برگرفته و اطلاعات بسیار مفیدی پیرامون واکنشهای پیرسختی ارائه کردند که بهترین آنها، کارآفرای Smith در سال ۱۹۹۴ در انگلستان است.

از نقطه نظر جغرافیایی، فولادهای ماریجینگ در ۱۹۵۸ در آمریکا تولید یافته‌اند. در ۱۹۶۱ تحقیقات روسها آغاز شد و در دهه ۱۹۷۰ ژاپنیهای آن توجه کردند. در سالهای بعد دانشمندان فرانسه، هلند و آلمان نیز به جرگه محققین ماریجینگ پیوستند. چینیها و انگلیسیها کمی دیرتر از دیگران به فولادهای ماریجینگ پرداختند. بیشترین تحقیقات در مورد فولاد ماریجینگ هم‌اکنون در کشورهای هندوپاکستان انجام می‌شود.

درباره این پژوهه

در فاز مطالعاتی این پژوهه، ابتدا کلیه کتب، مقالات و Patent‌های مختلف مربوط به فولادهای ماریجینگ که دسترسی به آنها ممکن بود جمع آوری شد و در این کارتاکید خاصی بر جدیدبودن مراجع اعمال شد. نگاهی به تعداد سال انتشار مراجع انتهای مجموعه حاضر مؤید این مدعای است. مطالب استنتاج شده از مطالعه، مقایسه و انطباق این منابع سه فصل اول پایان‌نامه را تشکیل می‌دهند. در فصل اول چگونگی پیدایش این فولادها، روش‌های تولید آنها و عناصر آلیاژی فولاد معرفی شده‌اند. فصل دوم، متالورژی فیزیکی فولادهای ماریجینگ و عملیات حرارتی وسطی مختلف اشاره شده در مراجع را موردنرسی قرار داده است. در فصل سوم فرایند پرسازی این فولادها تا عمق بیشتری مورد کاوش قرار گرفته است.

در فصلهای چهارم و پنجم آزمایشات عملی روی دونمونه از این فولادها آمده است. فصل چهارم آزمایشاتی را در بر می‌گیرد که برای دستیابی به بهترین سیکل عملیات پرسازی انجام شده‌اند. فصل پنجم

نیز فرایند پوشش دهی آزمایش شده بروی این فولادهای امدادی میکند.

در فصل آخر مطالعات عملی انجام شده، جمع‌بندی و با توجه به آزمایشات انجام شده، پیشنهاداتی برای

تحقیقات آتی ارائه شده است.

بخش اول

مرور منابع